全品
— SINCE 1992 —

教育图书 功能学具 学生之家

基础教育行业专研品牌

30+年专注教育行业

全品一线

特色专项

小题快练+大题冲关

广东专版

高中

地理

CONTENTS 目录

第一部分 小题快练

小题快练 1 …… 专 001 / 答 091
小题快练 2 …… 专 004 / 答 092
小题快练 3 …… 专 007 / 答 093
小题快练 4 …… 专 010 / 答 095
小题快练 5 …… 专 013 / 答 096
小题快练 6 …… 专 016 / 答 097
小题快练 7 …… 专 019 / 答 099
小题快练 8 …… 专 022 / 答 100
小题快练 9 …… 专 025 / 答 101
小题快练 10 …… 专 028 / 答 103
小题快练 11 …… 专 031 / 答 104
小题快练 12 …… 专 034 / 答 105
小题快练 13 …… 专 037 / 答 107
小题快练 14 …… 专 040 / 答 108
小题快练 15 …… 专 043 / 答 109
小题快练 16 …… 专 046 / 答 110
小题快练 17 …… 专 049 / 答 112
小题快练 18 …… 专 052 / 答 113

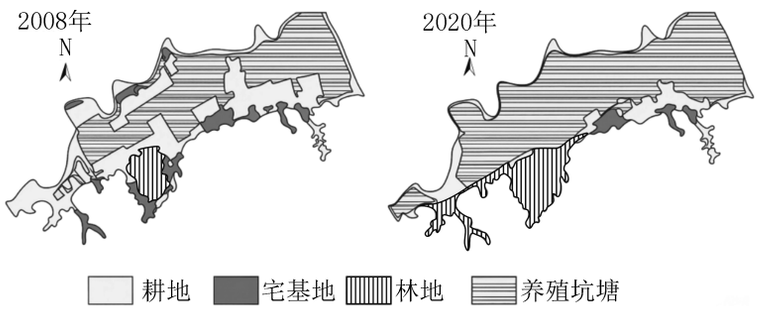
第二部分 大题冲关

大题冲关 1 …… 专 055 / 答 115
大题冲关 2 …… 专 057 / 答 116
大题冲关 3 …… 专 059 / 答 117
大题冲关 4 …… 专 061 / 答 118
大题冲关 5 …… 专 063 / 答 119
大题冲关 6 …… 专 065 / 答 121
大题冲关 7 …… 专 067 / 答 122
大题冲关 8 …… 专 069 / 答 123
大题冲关 9 …… 专 071 / 答 124
大题冲关 10 …… 专 073 / 答 125
大题冲关 11 …… 专 075 / 答 126
大题冲关 12 …… 专 077 / 答 127
大题冲关 13 …… 专 079 / 答 128
大题冲关 14 …… 专 081 / 答 129
大题冲关 15 …… 专 083 / 答 131
大题冲关 16 …… 专 085 / 答 132
大题冲关 17 …… 专 087 / 答 133
大题冲关 18 …… 专 089 / 答 133

小题快练 1

时间:30 分钟　分值:48 分

［2026·广东中山一模］近年来,江苏后圩村大力发展以螃蟹养殖为特色的乡村旅游业。随着旅游的开发,该村土地利用方式发生了变化,部分宅基地和公共空间转化成游客和居民共用型空间。下图示意后圩村 2008 年和 2020 年土地利用方式。据此完成 1～2 题。



1. 后圩村土地利用方式的变化体现了当地 (　)

①生产生活功能复合化　②生态服务功能凸显　③土地利用方式多样化　④第一产业逐渐萎缩

A. ①②　　B. ①③　　C. ②④　　D. ③④

2. 近年来,后圩村养殖坑塘面积的变化有助于 (　)

A. 优化乡村人居环境　　B. 适应乡村旅游发展

C. 加强乡村耕地保护　　D. 扩展乡村公共空间

［2026·河北张家口一模］绿氢是指通过风能、光能等可再生能源制造而成的氢气,被视为最具发展潜力的清洁能源之一。内蒙古自治区发展绿氢产业具有得天独厚的优势。2023 年 4 月 10 日,中国石化宣布“西氢东送”输氢管道示范工程已被纳入《石油天然气“全国一张网”建设实施方案》。下图示意我国首条“西氢东送”工程线路。据此完成 3～4 题。



3. “西氢东送”管道规划经过内蒙古、河北、北京等 3 省级行政区 9 个县、区,将在沿线多地预留端口,目的是 (　)

A. 为内蒙古提供清洁能源　　B. 接入北京煤炭制氢

C. 利于天然气管道的接入　　D. 接入沿线潜在氢源

4. “西氢东送”建设的重大意义有 (　)

①缓解能源分布与消费市场不匹配的矛盾　②有助于我国“碳达峰”目标的实现

③利于输出地停止化石能源开发,改善生态环境　④改变京津冀地区能源消费结构

A. ①②　　B. ①③　　C. ②④　　D. ③④

［2026·浙江绍兴二模］安宁河流域拥有四川第二大平原,政府正着力将其打造为“天府第二粮仓”,并利用无人机遥感等加强耕地管理。下图示意 2001 年、2021 年安宁河流域耕地非粮化率空间分布。据此完成 5～6 题。

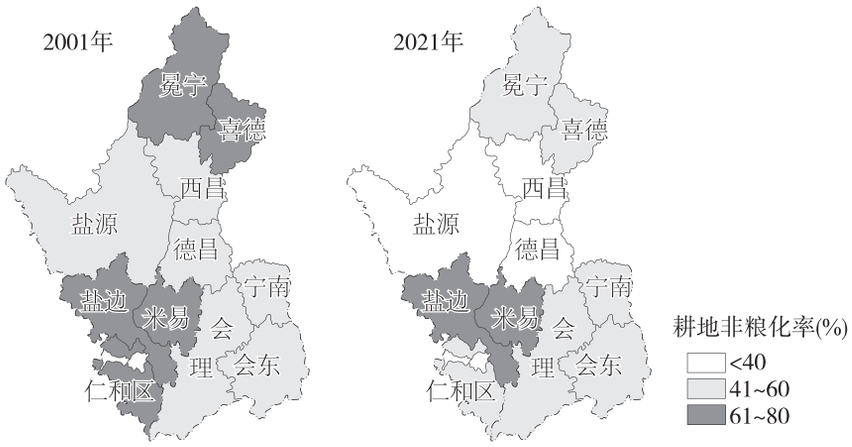
班级

姓名

题号 答题区

1 2 3 4 5 6 7 8 9 10 11 12 13 14 15 16

答题笔记



5. 导致安宁河流域耕地非粮化率变化的主要因素是 ( )

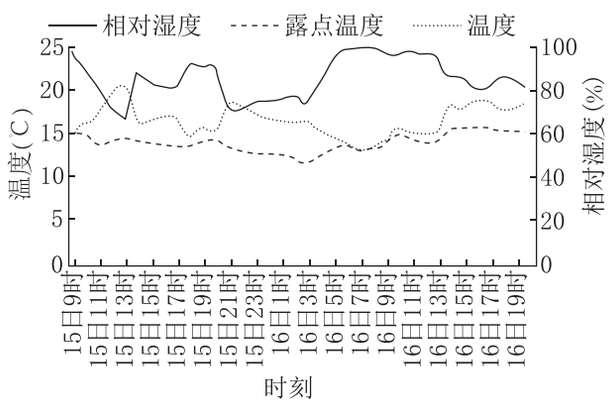
A. 地形　　B. 政策　　C. 经济　　D. 技术

6. 在耕地管理中,利用无人机遥感技术可 ( )

A. 制定耕地保护方案　　B. 判断耕地变化原因

C. 监测耕地利用状况　　D. 预测耕地变化趋势

[2026·广东清远二模] 2020年5月15—16日,山东半岛南部近海发生大范围海雾,白天的海陆风环流(即海风效应)促进了此次海雾的形成。右图示意该区域大管岛气象站当时的温度、相对湿度及露点温度(露点温度是指在气压不变、水汽无增减的情况下,未饱和空气因冷却而达到饱和时的温度)演变。据此完成7～8题。



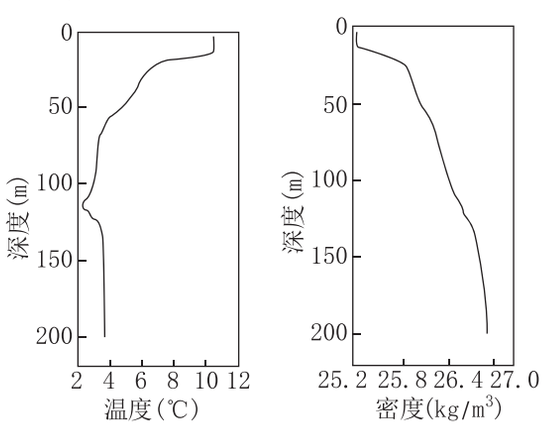
7. 大管岛站本次海雾开始时间是 ( )

A. 15日12时　　B. 15日21时　　C. 16日6时　　D. 16日9时

8. 海风效应对此次海雾的促进作用表现在 ( )

A. 增温增湿　　B. 增温减湿　　C. 降温减湿　　D. 降温增湿

[2026·广东湛江三模] 阿留申群岛中的阿图岛水道(53°21′N,169°55′E)0～150米深度水体季节变化显著,夏季与冬季的垂直剖面结构差异明显,150～400米深度存在温暖、高盐、性质常年稳定的太平洋中层水。下图示意阿图岛水道夏季200米以内海水温度、密度垂直剖面分布。据此完成9～10题。



9. 与夏季相比,阿图岛水道冬季表层水体 ( )

A. 密度减小　　B. 压力升高　　C. 垂直混合强烈　　D. 分层现象增强

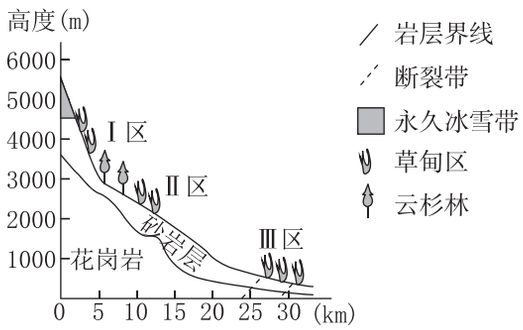
反思感悟

10. 夏季，该水道在水深 100～150 米附近出现水温随深度增加而升高的现象，主要因为（　）

A. 太阳辐射的垂直递减　　B. 海底地热的热量补给

C. 海表增温导致暖水下沉　　D. 冬季形成的冷冰水残留

［2026·山东日照三模］右图示意天山某谷地地层剖面及植被分布，该地砂岩层物质成分与当地花岗岩基本一致。据此完成 11～12 题。



11. 该地层的形成过程是（　）

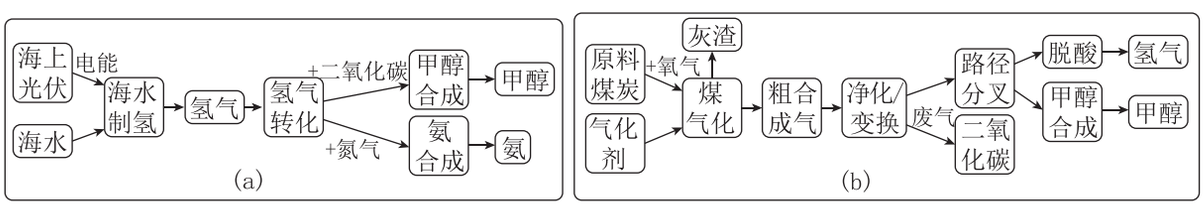
①地层隆起，岩层倾斜　②地壳抬升，风化崩解　③地壳下沉，固结成岩　④岩浆侵入，冷却凝固

A. ①②③④　　B. ②③④①　　C. ④①②③　　D. ④②③①

12. 与Ⅰ、Ⅱ草甸区相比，Ⅲ草甸区植物（　）

A. 耐寒　　B. 耐盐碱　　C. 耐涝　　D. 耐贫瘠

［2026·广东佛山二模］2025 年 3 月，我国首个海洋氢氨醇一体化项目在山东烟台建成调试。该项目以半潜式海上平台为核心，集成漂浮式光伏、储能、海水淡化与氢、氨、甲醇制备装置，实现了“绿电制绿氢、离网自给自足”。下图为该工艺(a)与传统内陆煤化工制氢工艺(b)示意图。据此完成 13～14 题。



13. 该项目选择在山东烟台海域建设，首要的条件在于当地（　）

A. 政策支持力度大　　B. 基础设施完善

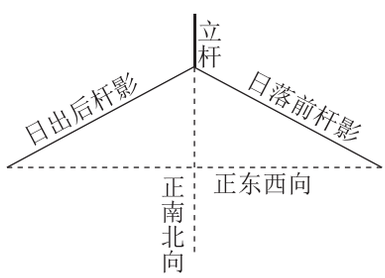
C. 能源和原料充足　　D. 能源市场广阔

14. 与传统内陆煤化工制氢工艺相比，该项目突出优势表现在（　）

A. 流程短、成本较低　　B. 原料多、无碳排放

C. 省空间、远离人烟　　D. 安全高、技术成熟

［2026·广东汕头二模］据《周髀算经》记载，先秦时期先民已经掌握了“立杆测影”测定方向的方法。后人据此进一步改良了这个方法：在水平面上垂直立杆后，先记录日出后杆影的位置并测得影长，然后在日落前影长与第一次测量相同时，再次记录杆影的位置，两次杆影顶点的连线即正东西方向，连线的垂直方向即正南北方向。右图示意我国某地理爱好者绘制的某日“立杆测影”测向情况。据此完成 15～16 题。



15. 一天内，两次记录的杆影顶点连线（　）

A. 在二分日达到最短　　B. 在二至日达到最长

C. 冬半年在立杆以北　　D. 夏半年在立杆以北

16. 在立杆高度相同的情况下，以下地点中，夏至日的一天中杆影顶点所划过弧线最长的是（　）

A. 哈尔滨　　B. 北京　　C. 武汉　　D. 广州

班级

姓名

答题区 题号

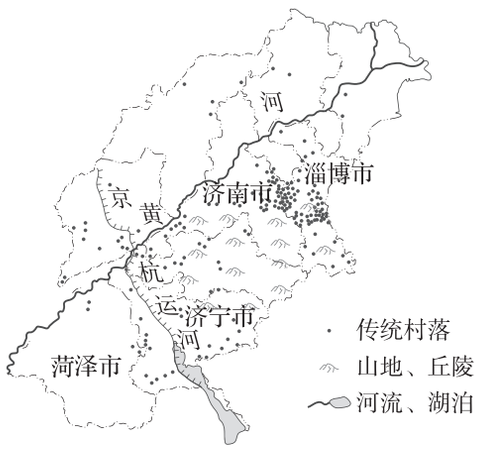
1 2 3 4 5 6 7 8 9 10 11 12 13 14 15 16

答题笔记

小题快练 2

时间:30 分钟　分值:48 分

［2026·广东汕头一模］山东省黄河沿岸现存260个传统村落,它们集中分布于济南淄博交界区、黄河京杭运河交汇区和菏泽济宁交界区(右图)。这些村落根据地理位置与景观价值,可划分为运河风貌型、黄河廊道型、济淄山区型、济泰山区型、平原田园型五大类型。据此完成1～2题。



1. 与黄河京杭运河交汇区相比,济南淄博交界区传统村落密度更大的原因是　(　)

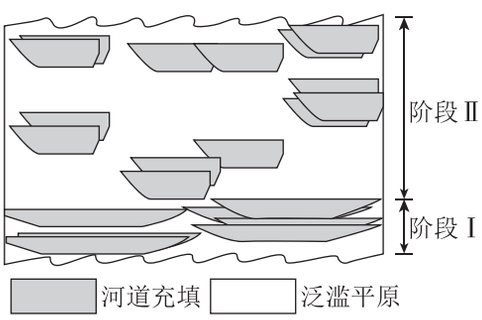
A. 耕地面积广阔
B. 灌溉水源充足
C. 水运交通便利
D. 洪灾影响较小

2. 在古村落保护发展的过程中,山东省将古村落划分为五大类型的意义有　(　)

①因地制宜,促进差异化发展　②取长补短,实现同质化目标　③趋利避害,推进村落城镇化　④挖掘内涵,树立特色化品牌

A. ①②　　B. ②③　　C. ①④　　D. ③④

［2026·广东茂名模拟］河道充填是河流在河道内的沉积作用,沉积物以粗颗粒为主;泛滥平原是河流在洪水期超出河道范围后的沉积结果,沉积物以细颗粒为主。右图为受河流沉积影响明显的某典型沉积层序及垂向剖面图,其中阶段Ⅰ以河道充填沉积为主,阶段Ⅱ以泛滥平原沉积为主。据此完成3～4题。



3. 河道充填与泛滥平原的物质组成差异,主要反映了河流的　(　)

A. 侵蚀强度差异　　B. 搬运距离差异
C. 堆积位置差异　　D. 流速变化差异

4. 阶段Ⅰ到阶段Ⅱ的变化,反映该地河流演化的趋势是　(　)

A. 流量减少,沉积减弱　　B. 河谷变窄,下切加剧
C. 流速加快,侵蚀增强　　D. 地势趋缓,侧蚀增强

［2026·广东深圳二模］东湖公园位于武汉东郊,是武汉重要旅游目的地,建有环湖绿道和多个绿道驿站(绿道中集交通集散、商业、休闲等功能于一体的重要节点)。为优化东湖公园的公共服务配套,某项目组通过实地考察等方式开展了东湖公园微型公交接驳线路和绿道驿站增扩设计方案的项目研究。右图为项目组绘制的优化方案图。据此完成5～6题。



反思感悟

5. 为完成东湖公园微型公交接驳线路设计，项目组在进行实地调研时需要选取的调查指标是（ ）

①线路对于绿道驿站与景点的连接程度　②沿线步行游客的数量与时段分布特征　③微型公交运营的油耗与能源消耗类型　④线路对地铁口和公交枢纽的覆盖程度　⑤高铁站的占地面积及日平均旅客数量

A. ①②③　　B. ①②④　　C. ②③⑤　　D. ③④⑤

6. 项目组在汇报中建议在东湖东岸增加绿道驿站数量，该建议能够（ ）

①提升高铁枢纽职能　②补齐东岸服务短板　③引导客流合理分布　④促进环湖商业集聚

A. ①②　　B. ①④　　C. ②③　　D. ③④

［2026·广东二模］研究显示，湖南省县域碳收支时空格局差异显著，整体呈“东高西低”的碳排放格局和“西北高、东南低”的碳吸收格局。为实现“双碳”目标，根据不同区域的碳收支特征和主体功能定位，湖南省将县域划分为低碳保持区、降碳攻坚区、经济发展区三大碳平衡区域，实行差异化发展措施。下表示意湖南省不同类型主体功能区的碳平衡分区。据此完成7～8题。

主体功能区类型	县域示例	碳平衡分区
国家级重点开发区	长沙市区	甲
国家级农产品主产区	湘潭县	乙
国家重点生态功能区	石门县	丙

7. 形成湖南省碳吸收量“西北高、东南低”格局的自然因素是（ ）

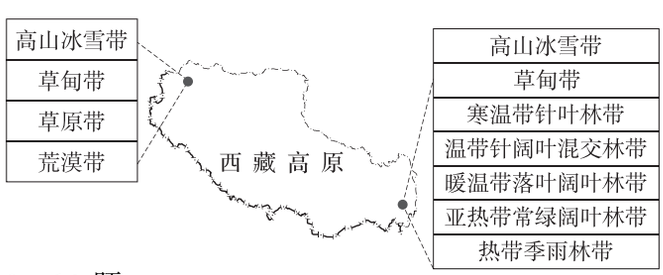
A. 地形、气候　　B. 植被、土壤　　C. 气候、水源　　D. 地形、植被

8. 甲、乙、丙依次表示（ ）

A. 降碳攻坚区、经济发展区、低碳保持区　B. 降碳攻坚区、低碳保持区、经济发展区

C. 经济发展区、降碳攻坚区、低碳保持区　D. 经济发展区、低碳保持区、降碳攻坚区

［2026·河北邢台二模］西藏高原自然地带呈三维空间变化。西藏高原从东南向西北产生地域分异，高原东南边缘和西北边缘山地形成不同的垂直带谱。右图为西藏高原东南边缘和西北边缘山地垂直带谱示意图。据此完成9～10题。



9. 西藏高原东部与西部自然地带垂直分异的主导因素分别是（ ）

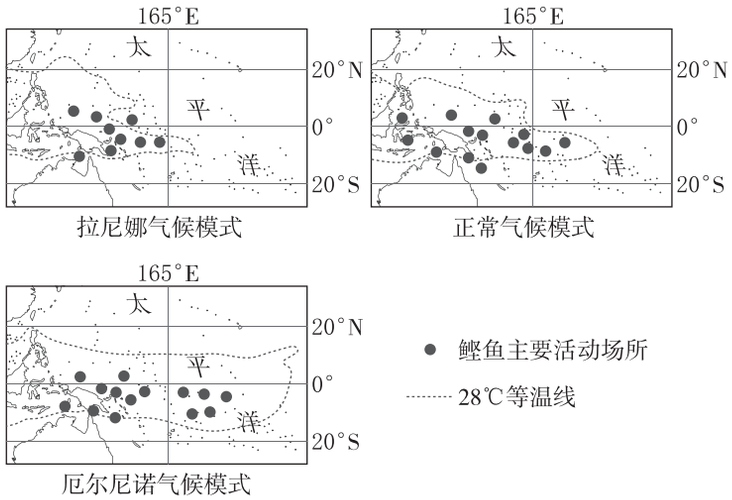
A. 温度、水分　　B. 水分、温度　　C. 海拔、坡度　　D. 坡度、海拔

10. 西藏高原由东南向西北的水平自然地带分布特点是（ ）

A. 草甸带—森林带—草原带—荒漠带　B. 森林带—草甸带—荒漠带—草原带

C. 荒漠带—草原带—草甸带—森林带　D. 森林带—草甸带—草原带—荒漠带

［2026·天津河北区一模］正常年份，东太平洋水温较低，西太平洋水温较高，西太平洋表面水温高于28℃的区域称为西太平洋暖池区域。西太平洋暖池区域是世界上最大的鲣鱼分布海域，研究发现气候变化在时空尺度上影响着鲣鱼的分布，28℃等温线东界会受厄尔尼诺与拉尼娜现象影响，进而影响鲣鱼资源的分布。下图示意不同气候模式下鲣鱼主要活动场所。据此完成11～12题。



11. 促使西太平洋暖池区域范围扩大的主导因素是 ( )

A. 天气系统　　B. 洋流

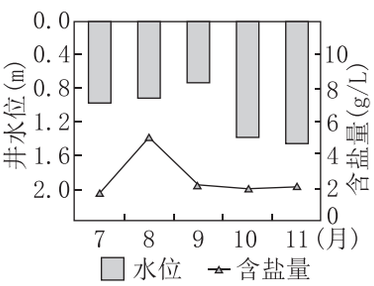
C. 海陆分布　　D. 太阳辐射

12. 有利于鲣鱼活动范围扩大的条件是 ( )

A. 海水散热增加　　B. 赤道逆流减弱

C. 东南信风减弱　　D. 秘鲁寒流增强

[2026·江西赣州一模] 黄河三角洲某盐碱地自2024年6月起通过灌溉淋洗和暗管排水排盐进行改良，土壤盐碱度明显下降，但效果有限，为此，有专家建议该地配套排水沟排盐。右图为改良期间7—11月在观测井中测得的井水位（井口固定点至水面的垂直距离）和井水含盐量变化。据此完成13～14题。



13. 改良期间，该盐碱地7—9月为土壤返盐高风险期，直接原因是 ( )

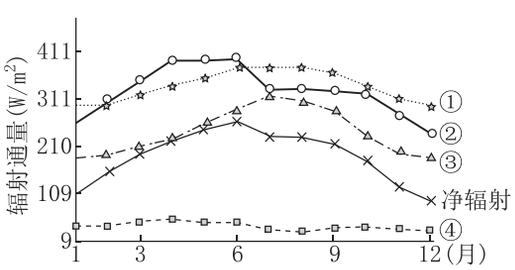
A. 地下水含盐量高　　B. 气温持续升高

C. 井水水面位置低　　D. 地下水埋藏浅

14. 结合图中数据，该盐碱地配套的排水沟深度应不小于 ( )

A. 0.7米　　B. 0.9米　　C. 1米　　D. 1.5米

[2026·广东湛江三模] 珠穆朗玛峰国家级自然保护区位于西藏日喀则地区，地处喜马拉雅山脉中段，是世界海拔最高的自然保护区。某研究团队选定了珠穆朗玛峰高寒湿地站（海拔4460米）进行大气观测。右图示意珠穆朗玛峰高寒湿地站辐射通量多年月平均变化。据此完成15～16题。



注：净辐射＝(太阳短波辐射－地面反射辐射)＋(大气逆辐射－地面长波辐射)。

15. 下列曲线的对应合理的是 ( )

A. ①—太阳短波辐射　　B. ②—地面反射辐射

C. ③—大气逆辐射　　D. ④—地面长波辐射

16. 与6月相比，影响7月高寒湿地站净辐射通量下降的主导因素是 ( )

A. 白昼时长　　B. 天气状况　　C. 地表反射率　　D. 正午太阳高度

小题快练 3

时间:30 分钟　分值:48 分

［2026·广东广州二模］近年来,我国电解铝产业呈现“北铝南移”的趋势。云南文山州充分发挥“绿电＋先进制造”融合发展新优势,吸引优质企业集聚,形成了“铝土矿—氧化铝—绿色铝—铝材精深加工—再生铝—综合利用”的“绿色铝”产业群,成为“北铝南移”标志区。据此完成 1～2 题。

1. 文山州成为“北铝南移”标志区的突出优势条件是（　）

A. 土地资源丰富　　B. 铝土矿资源丰富

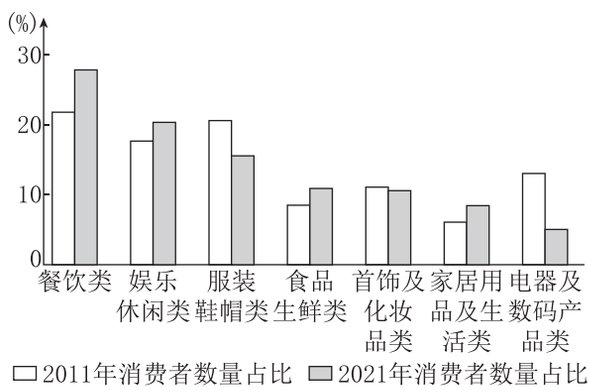
C. 清洁能源丰富　　D. 劳动力资源丰富

2. 构建“绿色铝”产业群对文山州铝产业的有利影响是（　）

A. 降低单位产值碳排放量　　B. 减少可再生能源消耗总量

C. 减少铝产业同质化竞争　　D. 增加初级铝产品外运比例

［2026·广东湛江二模］上海某商业中心早期以传统百货为主,近年来发展迅速。随着电子商务的迅速发展,该商业中心的部分商业遭受一定的冲击。下图示意 2011 年和 2021 年该商业中心消费类型的变化。据此完成 3～4 题。



3. 该商业中心消费类型的变化主要是由于电子商务影响了消费者的（　）

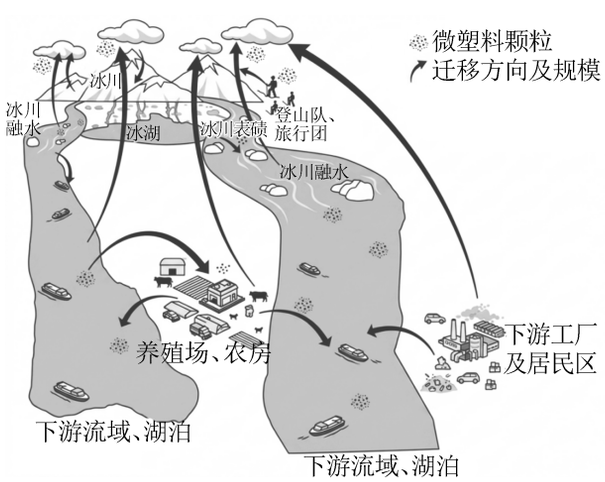
A. 群体数量　　B. 空间分布　　C. 消费能力　　D. 购物习惯

4. 为应对电子商务带来的冲击,实体商业中心可采取的措施包括（　）

①调整业态结构　②加大宣传力度　③创新服务模式　④完善基础设施

A. ①③　　B. ①④　　C. ②③　　D. ②④

［2026·山东济南三模］高海拔寒区是全球微塑料的重要“汇”与潜在“源”,其污染具有显著的跨区域特征。右图示意某流域微塑料的来源与迁移路径。据此完成 5～6 题。



5. 该流域高海拔寒区微塑料的主要输入途径是（　）

A. 大气挟带沉降

B. 登山旅游活动

C. 生产生活排放

D. 河流搬运沉积

班级

姓名

题号	答题区
1	
2	
3	
4	
5	
6	
7	
8	
9	
10	
11	
12	
13	
14	
15	
16	

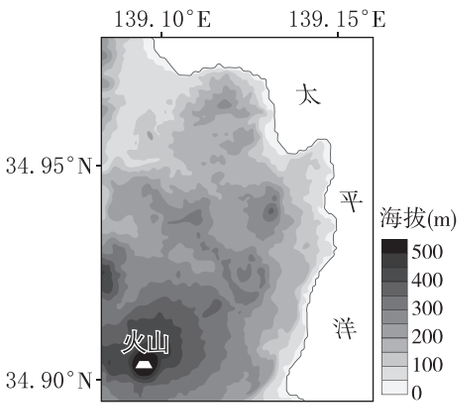
答题笔记

6. 全球变暖背景下，该流域下游微塑料污染加重，主要是因为冰川消融（　）

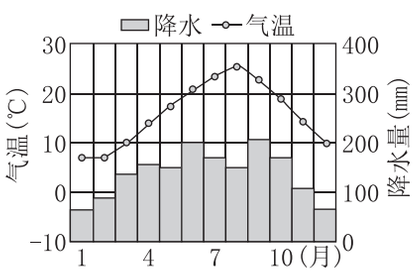
A. 加速了微塑料的分解　　B. 加剧了河流径流变化

C. 释放了储存的微塑料　　D. 降低了水体自净能力

［2026·四川成都三模］图甲中火山形成于4000年前，圆锥形山体保存完整，山体表面覆盖着人工种植的多年生草本植物。当地每年会举行传统的烧山活动，该习俗已延续700多年。图乙示意该火山所在区域气候资料。据此完成7～8题。



甲



乙

7. 该圆锥形山体保存完整，主要是因为（　）

A. 山体形成时间晚　　B. 风化作用弱

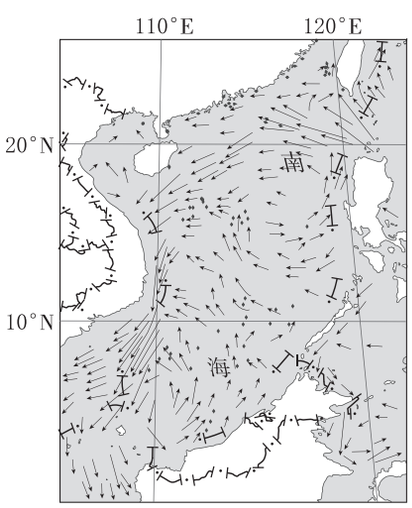
C. 流水侵蚀能力弱　　D. 岩浆活动强

8. 若停止烧山活动，推测该山体形成的稳定天然植被类型是（　）

A. 温带草原　　B. 常绿阔叶林

C. 落叶阔叶林　　D. 常绿硬叶林

［2026·辽宁沈阳一模］南海为半封闭深水边缘海，表层海水的环流结构存在季节差异。冬季，整个海盆尺度上呈现气旋式环流；夏季，环流结构则变得复杂，北部为气旋式，南部为反气旋式。在此格局下，一支源自越南沿岸（11°N～12°N）的东向急流尤为引人注目。右图示意冬季南海表层洋流分布。据此完成9～10题。



9. 与冬季相比，夏季南海表层洋流结构明显不同，主要影响因素是（　）

①海底地形　②地转偏向力　③盛行风的变化　④海岸线形态

A. ①②　　B. ①③

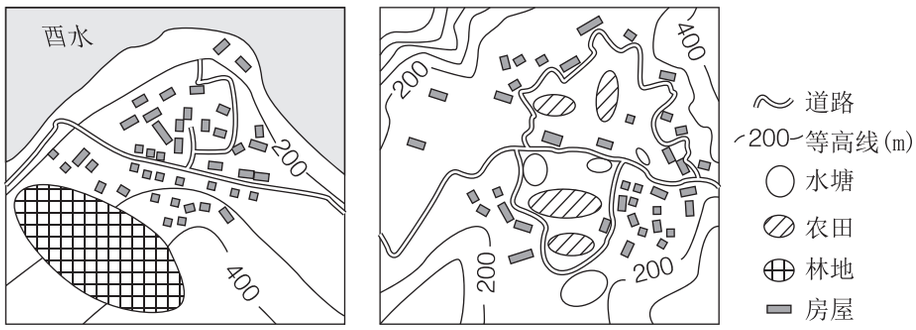
C. ②④　　D. ③④

10. 源于越南沿岸的东向急流（　）

A. 富含营养物质　　B. 流量稳定

C. 带来海洋热浪　　D. 盐度偏高

［2026·广东中山一模］湘西保靖县的传统村落位于山地丘陵地区，地处酉水中游，河流、水库和坑塘总面积较大。该县传统村落选址充分体现对水环境的适应性，形成多种形态格局。下图分别示意团状村落和指状村落。据此完成11～12题。



11. 指状村落的主要特征是 ( )

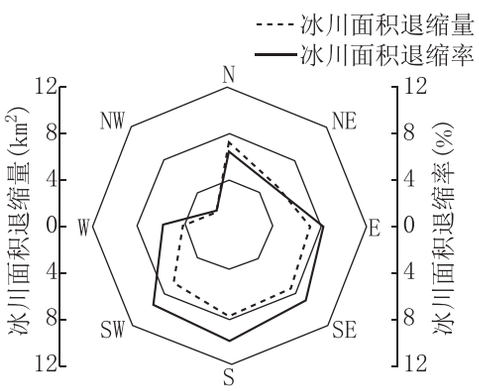
A. 沿水而建，农田绕宅　　B. 坐山而居，林水相依

C. 村居绕塘，宅高田低　　D. 依山傍水，宅田并置

12. 团状村落与指状村落在水适应性方面差异显著，主要影响因素是 ( )

A. 降水　　B. 地形　　C. 人口　　D. 交通

[2026·广东江门一模] 位于青藏高原北缘的新疆—西藏交界地带的木孜塔格峰，其山峰冰川区平均海拔为5557米，属于高海拔山岳冰川。木孜塔格峰冰川近年呈现退缩趋势，但与我国中西部其他冰川相比，其退缩速度较为缓慢。右图示意1960—2023年木孜塔格峰不同坡向冰川退缩情况。据此完成13～14题。



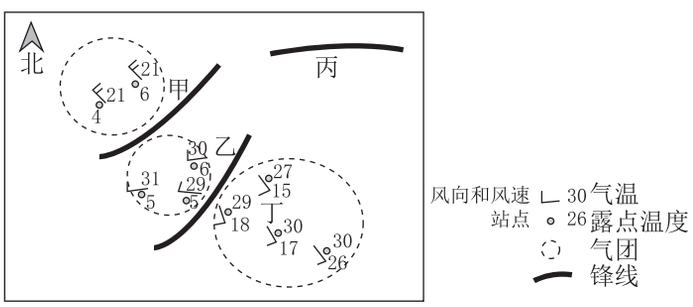
13. 根据材料推测木孜塔格峰冰川规模最大的坡向是 ( )

A. 北坡　　B. 南坡　　C. 西北坡　　D. 西南坡

14. 与我国中西部其他冰川相比，木孜塔格峰冰川退缩速度较为缓慢，主要原因可能是该冰川 ( )

A. 规模相对较小　B. 地形较为陡峻　C. 受人类影响弱　D. 海拔高，气温低

[2026·广东茂名一模] 干线是指两个温度相近的干、湿气团相遇所形成的锋，一般情况下，温度相同时湿空气密度更小。露点温度则是指空气到达冷却饱和时的温度。下图为某时刻北半球某地气象要素分布图。读图完成15～16题。



15. 此刻干线附近的气团性质主要表现为 ( )

A. 东侧暖干，西侧冷湿　　B. 东侧暖湿，西侧冷干

C. 东侧暖干，西侧暖湿　　D. 东侧暖湿，西侧暖干

16. 推测干线发育过程中极易出现的天气现象是 ( )

A. 产生降水　　B. 沙尘暴　　C. 气温骤降　　D. 晴朗无云

班级

姓名

答题区 题号

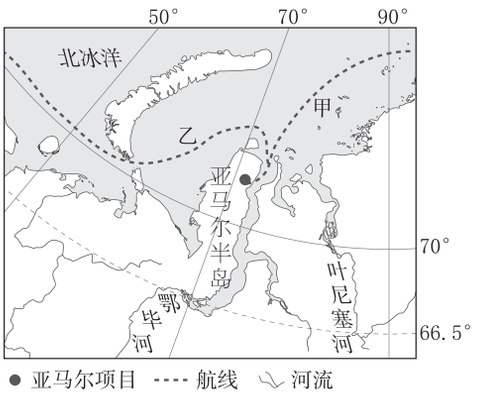
1 2 3 4 5 6 7 8 9 10 11 12 13 14 15 16

答题笔记

小题快练 4

时间:30 分钟　分值:48 分

［2026·安徽合肥三模］作为北极地区面积最大的国家，开发这片资源富集的区域一直是俄罗斯的重要战略目标。2025 年以来，俄政府已在北极航道沿线大规模开展基础设施建设。俄罗斯北极地区的油气开发主要分为两大区域，分别位于北极大陆架与北极陆上区域，其中陆上区域以亚马尔半岛为核心。右图示意亚马尔半岛及附近北极航线(局部)。据此完成 1～2 题。



1. 关于向我国运输油气资源的甲、乙两条航线的正确评价是　(　)

A. 甲路线较长，冬夏季皆可运输　　B. 乙线路较长，冬夏季皆可运输

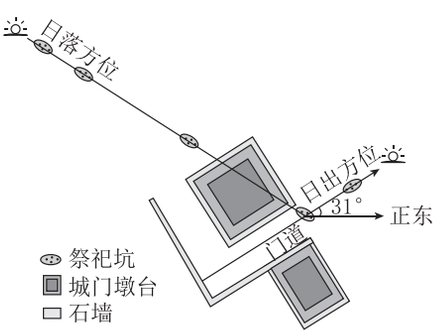
C. 甲路线较短，只适合冬季运输　　D. 乙路线较长，只适合夏季运输

2. 在亚马尔半岛开采油气资源过程中可能遇到的困难有　(　)

①受盛行风影响，多风暴潮　②冬季寒冷漫长，多暴风雪　③易遭受鄂毕河凌汛的威胁　④物资输入、输出成本非常高

A. ①③　　B. ①④　　C. ②③　　D. ②④

［2026·广东湛江二模］石峁遗址位于陕西省神木市，距今约 4000 年。该遗址外城的东门有两处祭祀坑与东门门道连成一线，附近其他祭祀坑也连成一线。研究表明，祭祀坑的连线方向指向当时某重要节气的日出、日落方位(右图)。据此完成 3～4 题。



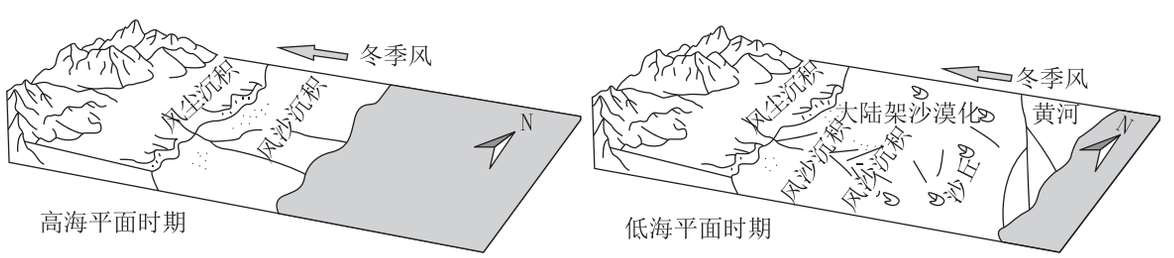
3. 推测石峁遗址东门附近祭祀坑的连线方向所指示日出、日落方位所属的节气是　(　)

A. 春分　　B. 夏至　　C. 秋分　　D. 冬至

4. 现代该节气时，祭祀坑的连线方向不再指示日出、日落方位，原因可能是　(　)

A. 自转周期变化　B. 公转周期变化　C. 黄赤交角变化　D. 全球气候变化

［2026·广东江门二模］风成沉积是记录古气候变迁的良好载体，其中第四纪风成沉积主要包括风沙沉积和风尘沉积。山东半岛北部具有较为完整的第四纪风成沉积剖面。下图示意冰期与间冰期山东半岛北部风成沉积模式对比。据此完成 5～6 题。



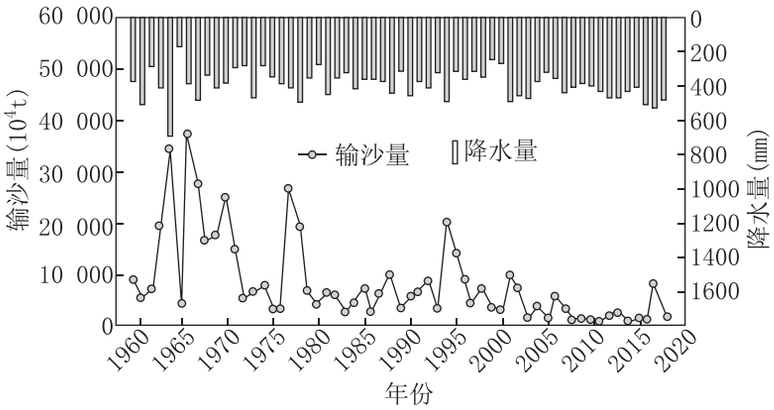
5. 与风沙沉积相比，风尘沉积　(　)

A. 分选性差　　B. 平均粒径小　　C. 厚度更大　　D. 形成时间早

6. 冰期时，该地区风沙沉积与风尘沉积加快，与之关系最小的是　(　)

A. 冬季风增强　　B. 大陆架出露　　C. 沙源增多　　D. 海水堆积增强

［2026·山东潍坊一模］位于黄土高原的无定河地下水补给占比为60%～80%，远高于华北平原上纬度相当的滹沱河（年降水量500毫米左右）。为治理水患、开发水资源，20世纪50年代开始，在无定河流域实施了一系列生态修复工程。右图示意无定河1960—2018年降水量和年输沙量变化情况。据此完成7～8题。



7. 与滹沱河相比，无定河地下水补给占比高的主要原因是（　）

①黄土土质较疏松　②地表植被覆盖率低　③河谷切割深度大　④降水季节分配不均

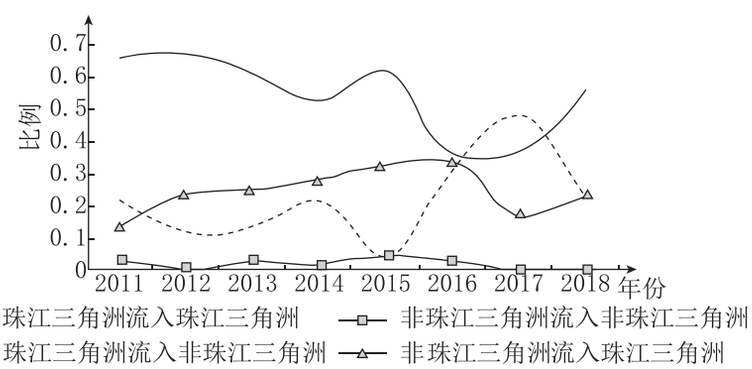
A. ①③　　B. ①④　　C. ②③　　D. ②④

8. 1960年以后，无定河输沙量减少的主要原因是（　）

A. 生态补水多，径流稳定　　B. 修建水库群，蓄水调沙

C. 降水量减少，侵蚀减弱　　D. 坡耕地退耕，还林还草

［2026·广东清远二模］工业智能化能够形成岗位创造效应，使设计、管理等高技能与普通服务类等低技能工作岗位增加，重复性、常规性任务的中技能岗位减少。广东省劳动力空间流动方向受工业智能化影响显著。右图为2011—2018年广东劳动力省内流动方向比例。据此完成9～10题。



9. 2015年后，广东劳动力流动方向反映出（　）

A. 珠江三角洲工业智能化水平下降　　B. 省内区域均衡协调发展

C. 非珠江三角洲高技能岗位数激增　　D. 劳动力向省外流动增加

10. 非珠江三角洲内部之间劳动力流动比例一直较低的主要原因是（　）

A. 地区收入差距较大　　B. 高技能岗位数量较多

C. 劳动力技能水平低　　D. 工业智能化水平较低

［2026·河北石家庄一模］都市圈是以中心城市为核心、多层次城镇协同发展的区域共生网络，其多维、有向的嵌套联系促进经济与社会资源高效流动。合肥都市圈是长江三角洲城市群五大都市圈之一。右图示意合肥都市圈结构。据此完成11～12题。



11. 合肥都市圈多层结构对社会资源流动的主要影响是（　）

A. 差异化分工，优化资源配置

B. 消除行政壁垒，缩小区域的差距

C. 资源不断地向拓展层集中

D. 资源分散化，核心层辐射力弱化

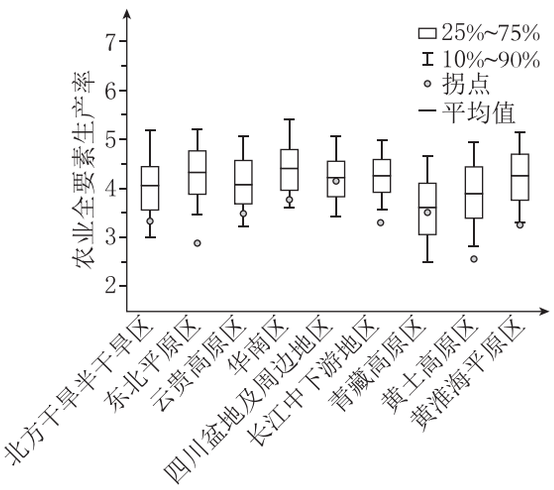
反思感悟

12. 合肥都市圈进一步融入长江三角洲城市群的重要举措是（　）

A. 加速推进城市扩张　　B. 吸引大量人口流入

C. 基础设施互联互通　　D. 大力开发自然资源

［2026·辽宁沈阳三模］全要素生产率是从多个方面综合考虑农业生产要素的利用效率和技术水平的一个指标。研究表明，在当前技术条件和管理模式下，农业全要素生产率的提高有助于降低单位面积的温室气体排放强度，但超过一定临界值后，全要素生产率的持续上升反而会增加单位面积的温室气体排放强度，最终呈现反弹波动的变化特征。右图为我国九大农区农业全要素生产率分布特征示意图（拐点又称反曲点，即曲线凹凸性改变的点）。据此完成13～14题。



13. 在全球气候变暖的背景下，农业全要素生产率最优的省级行政区是（　）

A. 粤　　B. 鲁

C. 黑　　D. 川

14. 面对农业全要素生产率与温室气体排放强度之间复杂关系，黄土高原地区应该（　）

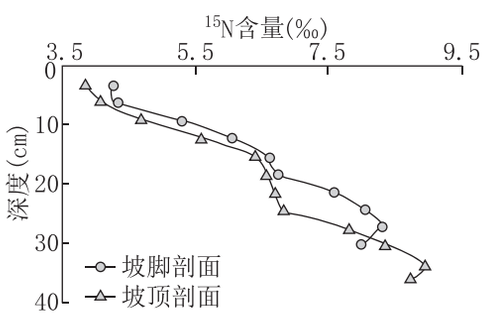
A. 加大农业资本投入

B. 构建碳排放交易体系

C. 推广机械作业

D. 扩大农业种植规模

［2026·广东茂名一模］氮（N）是重要的土壤养分，^{14}N、^{15}N是氮的同位素。浅层微生物吸收氮时优先固定^{14}N，^{15}N在残留难降解的有机质中逐渐累积。研究团队在贵州某喀斯特锥峰的坡顶和坡脚采样，研究土壤^{15}N含量随深度的变化（下图）。下表为采样点概况。据此完成15～16题。



剖面	海拔(m)	主要植被
坡脚	922	杂草
坡顶	1015	乔木

15. 土壤^{15}N含量随深度的变化主要取决于（　）

A. 侵蚀作用　　B. 分解作用

C. 呼吸作用　　D. 淋溶作用

16. 影响坡脚和坡顶土壤^{15}N含量差异的主要因素是（　）

①水热条件　②植被状况　③土层厚度　④成土母质

A. ①②　　B. ①④

C. ②③　　D. ③④

小题快练 5

时间:30 分钟　分值:48 分

［2026·广东广州一模］近年来,随着城市轨道交通发展和家庭小轿车的普及,公交客流量减少,经济效益下降。为摆脱此困境,南京、郑州等地的公交集团与物流企业开展“公交＋快递”合作,打造“交通＋物流＋城市服务”的新业态。据此完成 1～2 题。

1. 在与物流企业的合作中,公交集团发挥的优势有　(　)

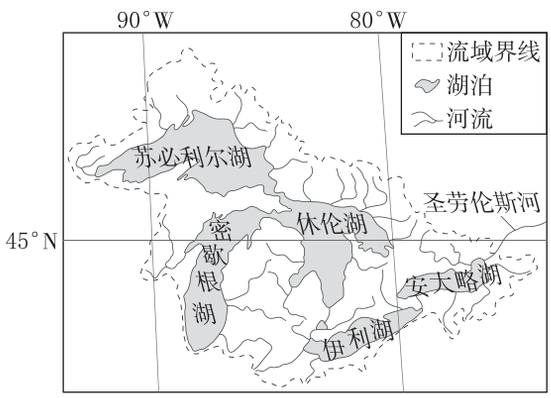
①快速的送货上门服务　②调度机动灵活　③丰富的线网、站场资源　④车辆载货量大

A. ①②　　B. ③④　　C. ①④　　D. ②③

2. 以下物品中,最适宜采用“公交＋快递”模式运送的是　(　)

A. 急救药品　　B. 郊区农产品　　C. 大件家具　　D. 精密零部件

［2026·河北邢台二模］北美五大湖是世界最大淡水湖群,总面积达 24.5 万平方千米。湖水通过蒸发返回大气,在秋冬季节,冷空气流经温暖湖面,引发“大湖效应”,形成降雪。整个水循环维持着北美五大湖庞大的水量,其淡水储量约占全球地表淡水总量的 21%,且水位稳定,水位年变幅仅 30～60 厘米。右图为北美五大湖及其流域分布图。据此完成 3～4 题。



3. 维持北美五大湖庞大水量的主要水循环环节有　(　)

A. 径流、蒸发、下渗　　B. 水汽输送、土壤下渗

C. 降水、蒸发、径流　　D. 地表径流、地下径流

4. 北美五大湖水位年变幅较小的主要原因是　(　)

A. 水量收入大于支出　　B. “大湖效应”显著

C. 终年高温,降水丰富　　D. 地下水补给占比高

［2026·广东深圳三模］改革开放前,勐腊县甘蔗种植及制糖业处于徘徊不前状况。20 世纪 90 年代后,制糖产业逐渐由广东向云南转移,勐腊县糖厂随之蓬勃发展。2000 年后,勐腊县关闭或合并产能落后的中小糖厂,2006 年选择在老挝琅南塔省进行甘蔗境外种植,成为糖厂原料的重要来源。2018 年,勐腊县仅有 2 家制糖企业,但制糖产业已成为主导产业之一。右图为勐腊县位置及周边区域简图。据此完成 5～6 题。



5. 20 世纪 90 年代后,制糖产业由广东向云南转移的主要原因是　(　)

A. 降低生产成本　　B. 靠近消费市场　　C. 就近获取动力　　D. 改进制糖技术

6. 2000 年后,勐腊县部分中小糖厂被关闭、合并的主要目的是　(　)

①加强国际合作　②培育龙头企业　③提高生产效益　④控制生产规模

A. ①②　　B. ①④　　C. ②③　　D. ③④

班级

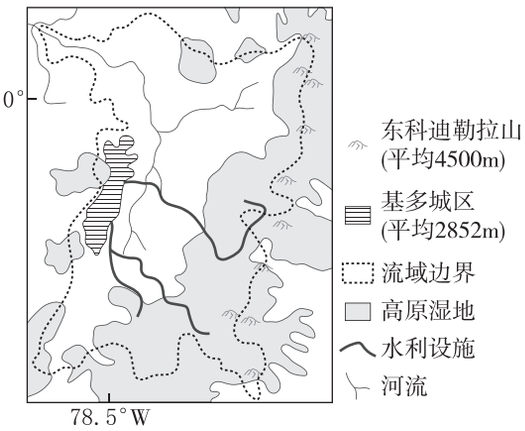
姓名

题号	答题区
1	
2	
3	
4	
5	
6	
7	
8	
9	
10	
11	
12	
13	
14	
15	
16	

答题笔记

反思感悟

［2026·广东六校联盟联考］水基金是基于生态补偿理念建立的资金项目，形成“谁受益、谁付费”的运作模式，以保护流域水资源、协调不同地区发展需求。2000年，厄瓜多尔首都基多成立全球首个水基金项目，由自来水厂、矿泉水厂、啤酒厂等将收入的1%注入基金，资金用作农民推行生态保护措施的经济补偿。右图为基多位置示意图。据此完成7～8题。



7. 接受基多水基金项目生态补偿的地区主要位于流域的 （ ）

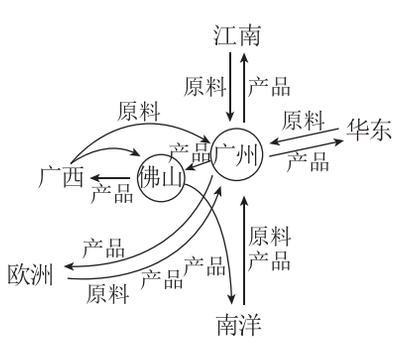
A. 西北部　　B. 西南部　　C. 东北部　　D. 东南部

8. 多家公司积极加入基多水基金项目的主要目的是 （ ）

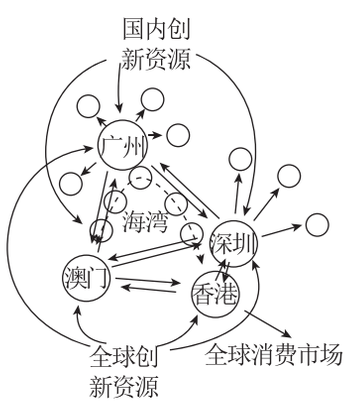
A. 扩大产品的市场销售范围　　B. 保障稳定优质的原料供应

C. 履行企业承担的社会责任　　D. 缩小流域发展的区域差异

［2026·广东佛山模拟］区域发展模式会随时代变迁而演进。历史上，广州、佛山依托海外贸易，形成以商品集散为核心、连接国内外的“双核”市场网络（图甲）。当前，粤港澳大湾区以科技创新为核心动力，构建起广州、深圳、香港、澳门四城“多核心”协同、深度连接全球的创新区域（图乙）。据此完成9～10题。



甲



乙

9. 该区域从“双核”到“多核心”的转型升级，其核心城市 （ ）

①交通依赖从水路运输转向航空运输　②核心功能从贸易枢纽转向创新引擎　③城市关系从简单分工转向深度协同　④产业基础从资源开发转向高端制造

A. ①②　　B. ①④　　C. ②③　　D. ③④

10. 粤港澳大湾区“多核心协同”空间结构的形成，将促使区域内 （ ）

A. 生产要素实现跨城高效配置　　B. 城市产业结构趋向同质化

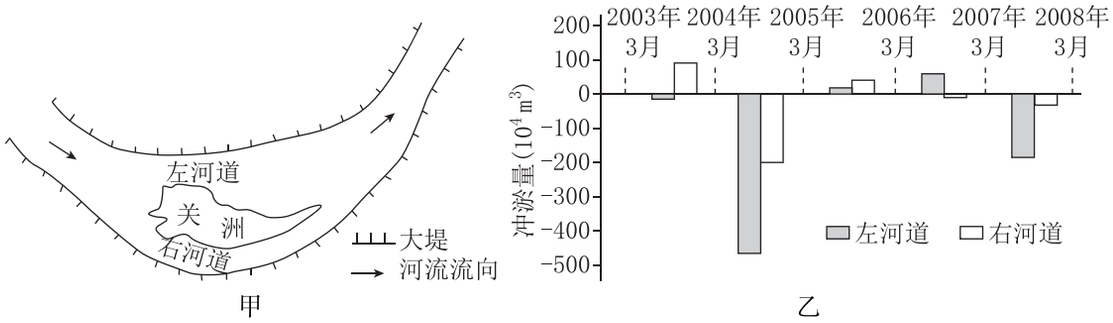
C. 与国际市场的联系程度降低　　D. 劳动密集型企业大量转出

［2026·湖南长沙二模］关洲为江心洲（图甲），位于长江中游荆江河段，上距三峡大坝约100千米。受关洲两侧河床形态特征影响，丰水期左河道水量较大，枯水期右河道水量较大。图乙示意2003年3月至2008年3月关洲河段左、右河道冲淤量（淤积量减去冲刷量）的变化。据此完成11～12题。

11. 与左河道相比，右河道河床 （ ）

A. 海拔较低，沉积物平均粒径较小　　B. 海拔较高，沉积物平均粒径较小

C. 海拔较低，沉积物平均粒径较大　　D. 海拔较高，沉积物平均粒径较大



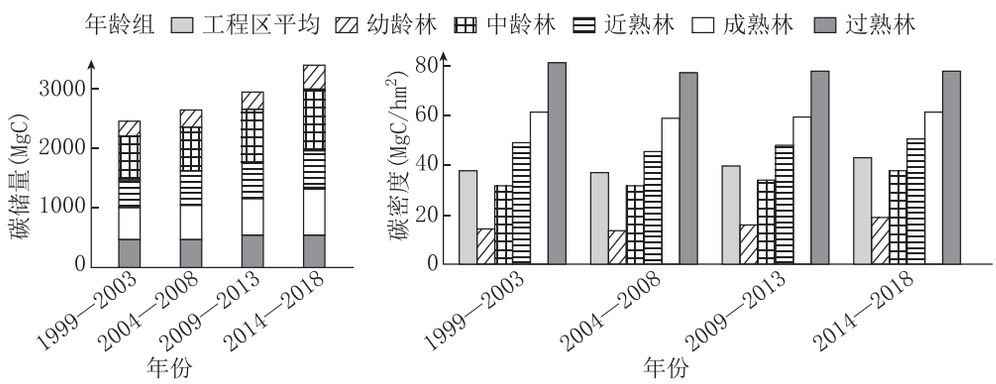
甲　　乙

12. 图乙所示期间，关洲河段冲淤量的变化特点反映出上游　　（　）

A. 大型水利工程投入使用　　B. 年均降水量增加

C. 沿岸农业灌溉面积减小　　D. 植被覆盖率下降

［2025·广东肇庆二模］森林碳汇指森林植被吸收并储存大气中的二氧化碳，从而减少二氧化碳在空气中的浓度，碳储量越大，碳汇越多。森林碳汇能力指森林植被吸收并储存二氧化碳的能力，主要通过碳储量和碳密度（单位面积碳储量）测量。退耕还林、封山育林等措施可有效保护天然林资源，提升森林碳汇能力。下图为1999—2018年我国天然林保护区乔木林不同年龄组的碳储量和碳密度统计图。据此完成13～14题。



13. 与1999—2003年相比，2014—2018年我国天然林碳汇　　（　）

A. 各年龄组均有增加　　B. 中龄林比重最小

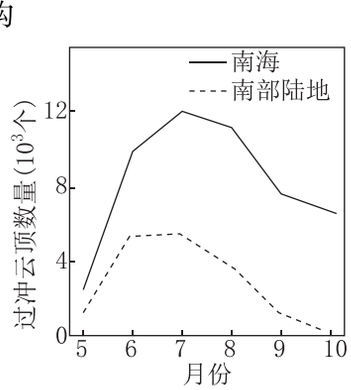
C. 随树龄的增加而增加　　D. 近熟林比重下降

14. 下列措施中，有利于提升森林碳汇能力的是　　（　）

A. 大量砍伐过熟林　　B. 扩大耕地面积

C. 提升人工林比重　　D. 完善树龄结构

［2026·广东汕头一模］过冲云顶是强上升气流穿透对流层顶并延伸至平流层而形成的塔状云顶结构，常伴有暴雨、龙卷风等天气。该现象在我国南部陆地（18°N～32°N，105°E～125°E）和南海区域的分布存在显著差异。右图示意2019—2023年5—10月我国南部区域过冲云顶逐月数量变化。据此完成15～16题。



15. 与南海相比，2019—2023年5—10月我国南部陆地过冲云顶活动的变化特征是　　（　）

A. 5—6月数量上升较快　　B. 峰值数值更大

C. 数量波动幅度比较小　　D. 消失时间更晚

16. 8—10月我国南部陆地过冲云顶活动变化的最主要原因是该地区　　（　）

A. 大陆热低压增强　B. 冷空气逐渐活跃　C. 植被蒸腾量减少　D. 副热带高压北进

反思感悟

班级

姓名

答题区 题号

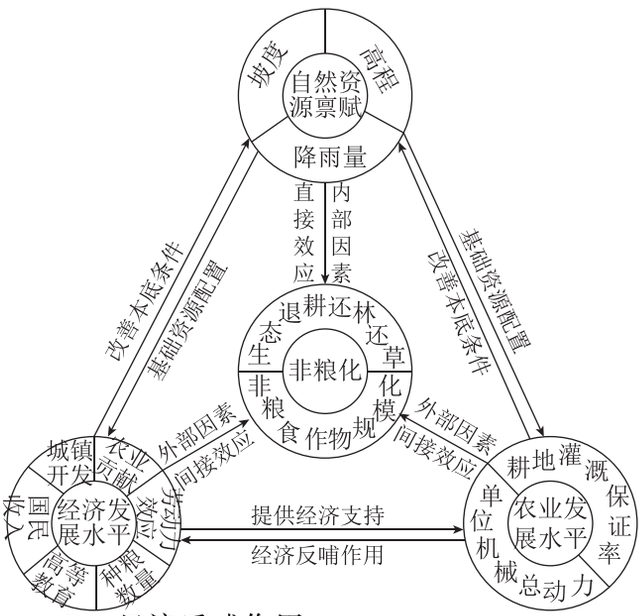
1 2 3 4 5 6 7 8 9 10 11 12 13 14 15 16

答题笔记

小题快练 6

时间:30 分钟　分值:48 分

［2026·广东江门二模］2009—2022 年,中国有近五成耕地未种植水稻、玉米、小麦,非粮化率平均为 45.44%。中国地域广阔,不同区域的农业资源禀赋与社会经济发展水平存在显著差异,因此在扭转耕地“非粮化”趋势时,不同分区应采取不同的调控治理策略。右图示意我国耕地“非粮化”驱动与治理机制。据此完成 1～2 题。



1. 黄土高原区在耕地“非粮化”治理中采取“上游修梯田、中游治沟壑、下游固堤防”的措施,其治理机制体现在(　)

A. 提供经济支持　　B. 经济反哺作用

C. 改善本底条件　　D. 基础资源配置

2. 在云贵高原山区,加强农田水利建设是控制耕地“非粮化”的关键。该区域农田水利建设的重点方向应是(　)

A. 建设大型跨流域调水工程　　B. 推广喷灌、滴灌等高效节水技术

C. 发展规模化、集约化灌区　　D. 修建水窖、水池等微型水利工程

［2026·广东三模］2026 年交通部数据监测显示春运人员流动高度集聚于长江三角洲、京津冀、成渝、长江中游、珠江三角洲五大城市群,合计承载全国近半数流动人次。此外春节前全国“强流入城市”(单日净流入人口＞100 万)仅河南周口、安徽阜阳 2 座,较 2024 年的 9 座数量大幅度减少。据此完成 3～4 题。

3. 当前,“强流入城市”(　)

A. 第三产业发达,本地服务业岗位充足　　B. 地处交通枢纽,旅游流动人口多

C. 户籍人口众多,农村老龄化现象突出　　D. 城镇化水平高,外来常住人口多

4. 全国“强流入城市”数量减少,反映我国(　)

A. 人口就地就近就业增多,跨省级行政区劳务流动收缩

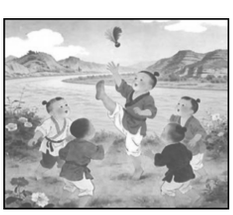
B. 东部经济发展水平下降,就业吸纳能力下降

C. 乡村经济全面振兴,农村人口开始返乡居住

D. 交通运输不断完善,人口流动的目的地增多

［2026·安徽合肥一模］北宋高承《事物纪原》记载:“今时小儿以铅锡为钱,装以鸡羽,呼为毽子,三四成群走踢……”,生动再现了彼时黄河流域孩童踢毽子的欢快场景(下图)。近年来,踢毽子作为简便的课间微运动在全国校园推广。据此完成 5～6 题。

5. 北宋时期,黄河流域制作毽子多以铅锡为底、鸡羽为饰,契合了该流域(　)



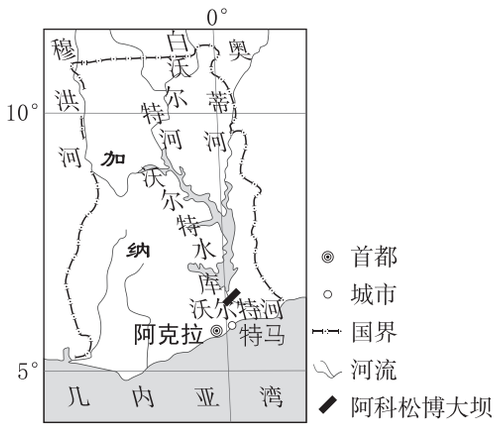
A. 家禽养殖普遍　　B. 水稻产量充足

C. 金属材料稀缺　　D. 森林资源丰富

6. 与黄河流域相比，珠江流域的中小学开展室外踢毽子运动的主要气候优势是（　）

A. 冬季风力较大　B. 冬季严寒较少　C. 夏季降水较少　D. 夏季气温较高

［2026·陕西西安二模］“沃尔特河综合开发”指的是加纳在沃尔特河上实施的以阿科松博大坝为核心的一系列大型综合性水利工程项目，其建设资金几乎完全由国际贷款融资完成。该项目是非洲历史上最雄心勃勃的发展项目之一，对加纳乃至西非地区产生了深远影响。右图示意阿科松博大坝位置。据此完成7～8题。



7. 沃尔特河综合开发工程实施的关键是（　）

A. 人口密度大，市场需水量大

B. 降水量较大，河流水量丰富

C. 国际资金支持力度大，提供坚实保障

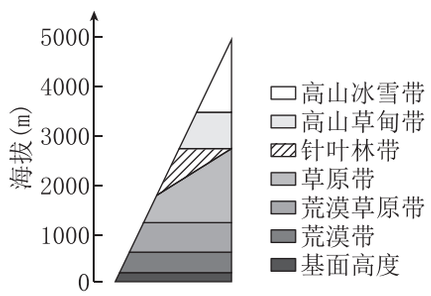
D. 地质稳定，适宜建设大型水坝和水库

8. 阿科松博大坝建设带来的影响是（　）

A. 促进有色金属产业的发展　B. 加剧下游地区洪涝灾害

C. 减少沃尔特水库生物多样性　D. 大幅降低河流航运效率

［2026·广东茂名一模］有机碳是通过微生物作用所形成的腐殖质、动植物残体和微生物体的合称。土壤有机碳密度主要受植被生物量输入和微生物分解速率共同影响。右图示意我国天山玛纳斯河流域自然带的垂直变化。读图完成9～10题。



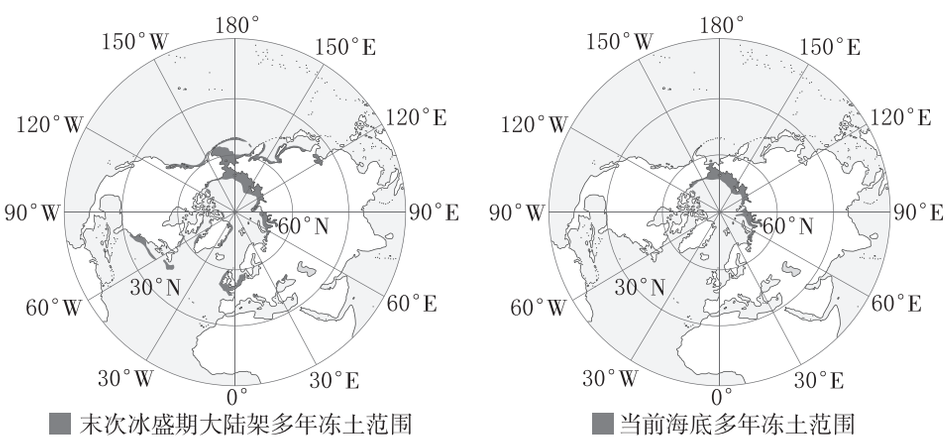
9. 天山玛纳斯河流域中，土壤有机碳密度理论上最高的自然带是（　）

A. 针叶林带　B. 草原带　C. 荒漠草原带　D. 高山草甸带

10. 玛纳斯河不同区域土壤有机碳密度垂直分布差异显著的根本原因是（　）

A. 地形垂直变化　B. 气温、降水差异　C. 植被及覆盖度　D. 人类活动强度

［2025·河南郑州一模］海底多年冻土是冰期—间冰期海平面变化过程中陆地多年冻土被海水淹没而形成的，其储存着大量有机碳和甲烷。下图示意北半球大陆架区域末次冰盛期多年冻土分布和当前海底多年冻土区范围。据此完成11～12题。



反思感悟

11. 末次冰盛期以来，北半球海底多年冻土面积减小最显著的区域是（　）

A. 低纬度地区　　B. 极地地区

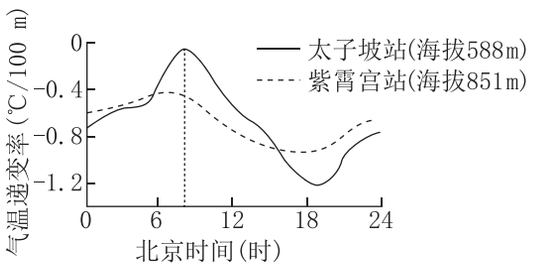
C. 中低纬地区　　D. 中高纬地区

12. 海底多年冻土减少带来的主要影响是（　）

A. 冻土融化吸热，减缓全球变暖　　B. 温室气体释放，温室效应加强

C. 海水堆积增强，滩涂面积扩大　　D. 浮游生物增多，海底碳汇增加

［2026·广东湛江一模］通常情况下，对流层气温随高度增加而降低，引起对流运动，触发大气不稳定。气温递变率描述随高度上升气温的变化幅度。右图示意武当山景区两座典型气象站不同时刻气温递变率。据此完成13～14题。



13. 大气稳定性最弱的是（　）

A. 上午太子坡站　　B. 傍晚太子坡站

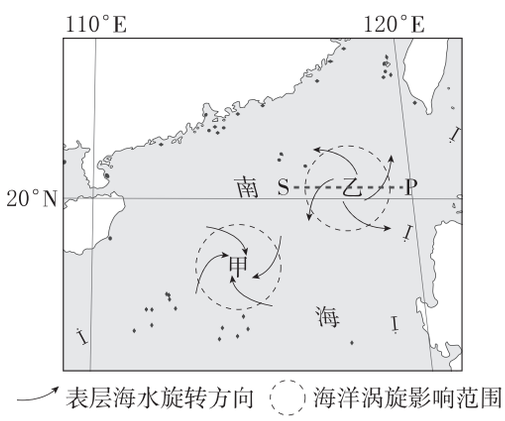
C. 午后紫霄宫站　　D. 子夜紫霄宫站

14. 武当山景区白天和夜晚气温递变率的变化趋势反映出与太子坡站相比，紫霄宫站（　）

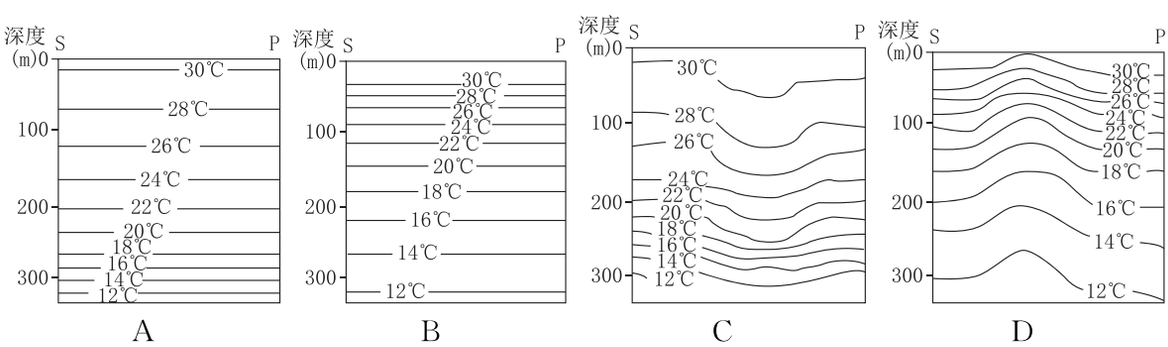
A. 昼夜气温差异小　　B. ≥10℃有效积温多

C. 夜晚平均气温高　　D. 全天都盛行山风

［2026·广东深圳一模］海洋涡旋是指海洋中直径几十至上百千米的巨大旋转流体，它们可以持续存在几周甚至几个月，影响深度在1000米以上。下图示意南海某季节甲、乙两处涡旋位置和表层海水旋转方向。据此完成15～16题。



15. 以下四幅图中能够正确表示S至P海水温度垂直方向变化的是（　）



16. 受海洋涡旋影响，图中海洋生物资源密度较大的水域是（　）

A. 甲涡旋影响的水域　　B. 乙涡旋影响的水域

C. 甲与乙之间的水域　　D. 乙涡旋东侧的水域